



## توسعه دامنه کاربرد دستگاه گاما سل 30-PX برای پرتودهی در دُزهای پائین تر

هادی فتح اللهی<sup>\*</sup>، حسین اهری مصطفوی، فرامرز مجذوب

مرکز تحقیقات کشاورزی و پژوهشی هسته‌ای، سازمان انرژی اتمی ایران، صندوق پستی: ۳۱۴۸۵-۴۹۸، کرج - ایران

واژه‌های کلیدی: تابش گاما، نرخ دُز، کبالت ۶۰، پرتودهی، توزیع دُز تابش، تضعیف کننده، دُزیمتروفریک

## Investigation for Possibility of Extension of Irradiation Domain for Issledovatelj Gamma-Cell Facility to lower Doses

H. Fathollahi<sup>\*</sup>, H. Ahari Mostafavi, F. Majd

Nuclear Research Center for Agriculture and Medicine, AEOI , P.O. Box: 31485-498, Karaj - Iran

**Abstract:** The gamma cell PX-30 irradiation facility has been equipped with the  $^{60}\text{Co}$  radioactive sources having an activity of 4 kCi and the dose-rate of 0.675 Gy/sec. The system is used for irradiation of different samples for the purpose of research activities. In this experiment the possibility of extending the range of applications of the system with the use of design and construction of attenuators, made of lead for reducing the dose-rate in the irradiation chamber has been investigated. With the use of Fricke reference dosimeters, the range of dose-rate irradiation distribution along with the dose-rate at different points of the irradiation reference for the new volume has been determined. Our data analyses indicating that by considering the loading capability of electromechanical system designed for handling the lead attenuators, we can reduce the required dose-rate in air to the half value of its initial rate to be applied for irradiation of different samples in a given volume.

**Keywords:** *gamma radiation, dose-rate, Cobalt 60, irradiation, radiation dose distribution, attenuator, fricke dosimeter*

**۱- مقدمه**

در دستگاه پرتوودهی GC-PX-30 امکان پرتوودهی نمونه‌های آزمایشگاهی در دُزهای بالا با رادیوایزوتوپ کبات-۶۰ فراهم شده است. نمونه‌هایی که باید پرتوودهی شوند، درون اتفاک استوانه‌ای، که بازوی متحرک دارد، قرار می‌گیرند. این اتفاک گنجایش نمونه‌هایی به ارتفاع ۲۰ cm و به قطر ۱۳ cm برای تکمیل هر نوع دستگاه پرتوودهی، در نظر گرفتن امکان توسعه دامنه کاربرد آن ممکن است مفید واقع شود. در بررسی‌هایی که درباره این دستگاه گاماسل به عمل آمد، امکان افزایش کارآبی آن برای پرتوودهی در دُزهای پائین‌تر لازم به نظر رسید، برای این منظور، با توجه به توان الکترومکانیکی دستگاه، به طراحی و ساخت حفاظه‌های سربی به عنوان تضعیف‌کننده شدَت دُز تابشی، پرداخته شد و کاستن آهنگ دُز حاصل با استفاده از سیستم دُزیمتری فریک مورد ارزیابی قرار گرفت.

در این روش با در نظر گرفتن توان مکانیکی دستگاه برای تحمل وزن اضافی ناشی از قرار دادن تضعیف‌کننده سربی در اتفاک پرتوودهی به منظور کاستن میزان دُز، تنها به دو ضخامت در دو حجم مختلف حفاظت بسندۀ شد. هندسه چشمۀ رادیواکتیو به صورت میله‌ای نازک، که با تقریب بسیار خوبی می‌توان آن را به عنوان چشمۀ پرتوودهی خطی محدود متشکّل از بینهایت چشمۀ نقطه‌ای فرض کرد، در نظر گرفته شده است. ضخامت سرب لازم برای حفاظ از رابطه (۱) حساب شده است [۱ و ۲ و ۳].

$$\check{D} = B \check{D}_0 \times \exp(-\mu d) \quad (1)$$

با قرار دادن مقادیر «ضریب تولید و انباست»<sup>(۱)</sup> B بر حسب طول واهلش<sup>(۲)</sup> برای سرب و مقدار دُز بدون حضور تضعیف‌کننده سربی، مقدار کاهندگی شدَت دُز در حضور تضعیف‌کننده سربی بدست خواهد آمد. ضخامت‌های  $d$  به کار رفته به ترتیب دارای (h = ۱۵ cm و R = ۵ cm) و (h = ۸ cm و R = ۴/۳ cm) می‌باشند. با قرار دادن اعداد مورد نظر در رابطه (۱) داریم:

$$\check{D} / \check{D}_0 = 0.7062 \quad \text{برای ضخامت } 8 \text{ mm}$$

$$\check{D} / \check{D}_0 = 0.5194 \quad \text{برای ضخامت } 14 \text{ mm}$$

که با در نظر گرفتن این دو ضخامت می‌توان نرخ دُز را در اتفاک پرتوودهی بر حسب توان و تحمل دستگاه پرتوودهی، تا حدود ۰.۵۲٪ مقدار اوّلیه خود از لحاظ تئوری کاهش داد.

**۲- مواد و روش آزمایش**

مراحل انجام آزمایش به قرار زیر است:

**۲-۱ آماده سازی اوّلیه**

پیش از تهیّه هر گونه محلول، باید نکاتی چون برقراری شرایط تعادل الکترونی در حجم دُزیمتر، سنجه‌بندی (کالیبراسیون) جذب اپتیکی دستگاه طیف سنج نوری، شستشوی دقیق ظروف آزمایشگاهی و ویال‌های دُزیمتری لحاظ شوند [۴ و ۵]. به منظور برقراری تعادل الکترونی روی حجم دُزیمتر با در نظر گرفتن اینکه این تعادل پس از طی برد پرانرژی ترین الکترون کامپتون برقرار خواهد شد، با عددگذاری در روابط زیر [۲]:

$$E_e - E - \dot{E} = \frac{E(1 - \cos \theta)}{m \cdot C} \quad (2)$$

$$\ln E_{e(\text{Max})} = 6.63 - 3.2376(10.2146 - \ln R)^{1/2} \quad (3)$$

مقدار بُرد الکترون کامپتون را بدست آورده و پس از آن غلاف‌های استوانه‌ای شکل از جنس پلکسی گلاس، به ضخامت ۳/۵ میلی‌متر تراشیده شدند. همچنین برای سنجه‌بندی دستگاه اسپکتروفوتومتر در مورد جذب اپتیکی، از روش استاندارد شیمیائی دی‌کرومات پتاسیوم در طول موج‌های مختلف استفاده شد [۶]. برای شستشوی ظروف آزمایشگاهی، ابتدا با آب مقطر سه بار تقطیر شده به شستشوی کامل آنها پرداخته‌ایم و پس از خشک شدن آنها را به مدت ۸ ساعت در دمای ۲۰۰ درجه سانتی‌گراد قرار داده‌ایم. در نهایت بر اساس استاندارد دُزیمتری ASTM E1026 به شماره ۱۰۲۶، ساخت محلول دُزیمتری فریک انجام پذیرفت. محلول ساخته شده را درون ویال‌های شیشه‌ای انتقال داده و در آنها را به وسیله شعله دستگاه جوش اکسیژن مسدود کرده‌ایم [۵ و ۷].

**۳- تعیین میزان دُز و نقاط خابی**

برای تعیین نرخ دُز در نقطه مرجع اتفاک پرتوودهی، آمپول‌های دُزیمتری فریک را در غلاف پلکسی گلاس قرار داده و در وسط اتفاک یعنی در ارتفاع ۱۲ cm از کف و در مرکز مقطع دایره‌ای شکل اتفاک استوانه‌ای گذاشته و مورد پرتوودهی قرار داده‌ایم.



- در مورد تضعیف کننده سربی با ضخامت ۸ mm، نرخ  $\text{d}z/\text{dt}$  در نقطه مرجع برابر  $0.005 \text{ Gy/sec}$  است.  $0.023 \pm 0.005$  (درصد خطای  $10.5\%$ ) و  $\text{d}z$  انتقالی برابر  $7.523 \text{ Gy/sec}$  است. بدست آمد، این مقدار تضعیفی حدود  $23$  درصد در برخواهد داشت، یعنی:

$$[\text{dD}/\text{dt}]_{(8 \text{ mm})} = 0.769 [\text{dD}/\text{dt}]_{(\text{Air})}$$

- در مورد تضعیف کننده سربی با ضخامت  $14 \text{ mm}$ ، نرخ  $\text{d}z$  در نقطه مرجع برابر  $0.003 \text{ Gy/sec}$  است.  $0.036 \pm 0.003$  (با درصد خطای  $7.7\%$ ) و  $\text{d}z$  انتقالی نیز برابر  $6.967 \text{ Gy}$  است. بدست آمد، این مقدار تضعیفی حدود  $47$  درصد را در بردارد، یعنی:

$$[\text{dD}/\text{dt}]_{(14 \text{ mm})} = 0.529 [\text{dD}/\text{dt}]_{(\text{Air})}$$

مقادیر تضعیف فوق با آنچه که از محاسبات تئوری بدست می‌آید مطابقت دارد.  
با توجه به نتایج حاصل، بدینوسیله می‌توان با استفاده از حفاظه‌های پیش‌گفته در حجم مورد نظر تا حدود نصف مقدار اولیه نرخ  $\text{d}z$  در هوا به نمونه‌های تحقیقاتی پرتو داد و حداقل  $\text{d}z$  جذبی را با اختساب  $\text{d}z$  انتقالی تا حدود  $8 \text{ Gy}$  پائین آورد.

- تعیین نقاط غایی در حضور تضعیف کننده سربی با در دست داشتن ساختار بکارگیری داده‌های بدست آمده از نتایج آزمایش، نکات زیر برای پراکندگی  $\text{d}z$  با حضور حفاظه سربی بدست می‌آید:

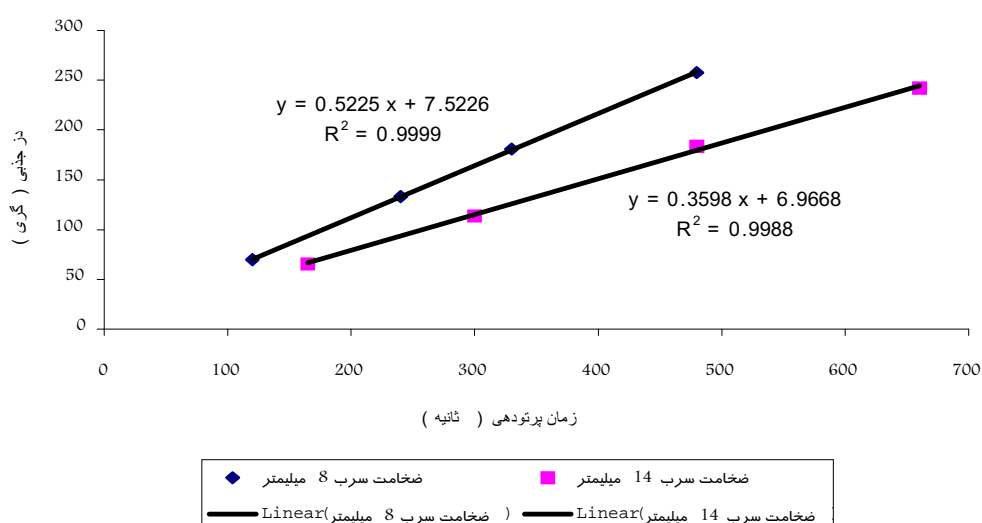
برای هر حفاظه سربی  $15$  ویال حاوی  $\text{d}z$ یمتر فریک ( $3$  ویال برای هر  $\text{d}z$ ) در نقطه مرجع (میانی) به ترتیب در زمانهای  $0, 120, 240, 360, 480$  و  $660$  ثانیه برای ضخامت اول و  $0, 165, 300, 420$  و  $540$  ثانیه برای ضخامت دوم پرتودهی شدند. متوسط دما در هنگام پرتودهی و پس از آن برابر  $21/0 \pm 0.5$  درجه سانتی‌گراد بود. با استفاده از یک صفحه مقوا که بر روی آن  $\text{d}z$ یمترها در نقاط مختلف چسبانده شده بودند، نقاط غایی و توزیع  $\text{d}z$  محوری در منطقه مورد نظر اندازه‌گیری شد [۸]. مدت پرتودهی و دمای متوسط به ترتیب برابر  $360$  ثانیه و  $0.5 \pm 0.05$  درجه سانتی‌گراد بود.

### ۳- یافته‌ها

با تجزیه و تحلیل  $\text{d}z$ یمترهای فریک به وسیله اسپکتروفوتومتر و اعمال ضریب‌های دمایی و ثابت بر آن، میزان  $\text{d}z$  جذبی محلول  $\text{d}z$ یمتری در مدت پرتودهی آن بدست آمد. نمودار سنجه‌بندی حاصل از یافته‌ها در دستگاه پرتودهی  $\text{Gama}$  در حضور تضعیف کننده‌های سربی در شکل ۱ نشان داده شده است.

### ۴- بحث و نتیجه‌گیری

- تعیین میزان  $\text{d}z$  و  $\text{d}z$  انتقالی با تضعیف کننده‌های سربی با تجزیه و تحلیل  $\text{d}z$ یمترهای فریک و استفاده از روش کمترین مربعات و پردازش به خط راست، این نتایج بدست آمد (شکل ۱):



شکل ۱- نمودار سنجه‌بندی دستگاه گاماسل در حضور تضعیف کننده سربی در دو ضخامت به وسیله  $\text{d}z$ یمتر فریک

### پی‌نوشت‌ها :

- ۱- Build-up Factor
- ۲- Attenuation Length

### References :

1. D. J. Bennet, J. R. Thomson, "The Elements of Nuclear Power", Third Edition, John Wiley and Sons, Inc., New York (1989).
2. H. Cember, Introduction to Health Physics, Pergamon Press, Oxford, U. K. (1983).
3. H. Goldstein, "Fundamental aspects of reactor shielding," Addison-Wesley Publishing Co. (1959).
4. A. Kovacs, "Role of dosimetry, methods for calibration, traceability, uncertainties," AFRA workshop on procedures and modalities for the implementation of ISO Codes 17-21 Nov. 1997, Accra, Ghana ( 1997 ).
5. "ASTM Dosimetry Standard for Radiation Processing", The 3<sup>rd</sup> International Workshop on Dosimetry for Radiation Processing, 1-6 Oct. 1995, in Ste- Adele, Quebec, Canada, Reprinted from the Annual Book of ASTM Standards (1995).
6. "Manual of food irradiation dosimetry," Technical reports series No. 178, IAEA, Vienna (1977 ).
7. G. Cserep, P. Fejes, G. Foldiak, "Chemical dosimetry," Institute of Isotopes of the Hungarian Academy of Sciences, Hungary (1971).
8. M.C. Cavaco, J.C. Almeida, M.E. Andrade, A. Kovas, "Dosimetry commissioning for an industrial Co-60 gamma-radiation facility," Appl. Radiat. Isot. Vol. 42, No. 42, No. 12, 1185-1188 ( 1991 ).

- توزیع دُز با حضور حفاظ در راستای شعاعی از مرکز به سمت بیرون رو به کاهش است (بر خلاف نتایج توزیع دُز بدون حضور حفاظ). زیرا با استفاده از حفاظ سربی، آن دسته از پرتوهای ساطع شده از چشمکه که به صورت مایل در حرکت هستند با نزدیک شدن به دیواره حفاظ در حین برخورد به آن به شدت تضعیف شده و عملاً از رسیدن به کناره‌های داخلی آن باز می‌مانند. همین افت شدید رسیدن پرتوها به جداره‌های داخلی دیواره سربی باعث کاهش میزان دُز در راستای شعاعی از مرکز به سمت دیواره خواهد شد. بر عکس در حالتی که تضعیف کننده وجود ندارد این پرتوها به حاشیه‌های کناری می‌رسند و در نتیجه قسمت‌های نزدیکتر به کناره‌های میدان، پرتوهای بیشتری دریافت کرده و نرخ دُز بالاتری خواهند داشت. به همین جهت مرکز اتفاک که بدون وجود حفاظ دارای مقدار دُز کمتری بود، در این حالت به نقطه‌ای که بیشینه مقدار دُز را دارد تبدیل می‌شود.

- توزیع دُز در حجم اتفاک پرتودهی مورد نظر از بالا به پائین در راستای محور افزایش می‌یابد. با در نظر گرفتن نقطه میانی به عنوان نقطه مرجع و دادن ضریب یک به آن داریم:

$$[D_{\text{Max}} / D_{\text{min}}]_{(8 \text{ mm})} = 1/0.7 / 0/0.8 = 1/34$$

$$[D_{\text{Max}} / D_{\text{min}}]_{(14 \text{ mm})} = 1/3 / 0/0.84 = 1/67$$

چون سطح مقطع مؤثر اتفاک پرتودهی برای حفاظ ۸ mm کوچک‌تر از سطح مقطع آن برای حفاظ ۱۴ mm و ارتفاع آن ۸ mm نیز بیشتر است، میدان پرتودهی برای فضایی که حفاظ ۸ mm دارد، بیشتر از فضای دارای حفاظ ۱۴ mm است. به نظر می‌رسد که اختلاف ارتفاع دو تضعیف کننده، عامل اصلی در ایجاد این تفاوت است. از آنجاییکه توزیع چشمکه رادیوآکتیو برای هر دو حالت یکسان است پرتوهای رسیده به قسمتهای انتهایی حفاظ ۱۴ میلی‌متری (که ارتفاع کمتری دارد) بیشتر از پرتوهای رسیده به قسمت انتهایی حفاظ ۸ میلی‌متری می‌باشد، در نتیجه دُز بیشتری به این قسمت می‌رسد. از طرف دیگر، پرتوتابی به قسمت پایینی حجم استوانه‌ای شکل اتفاک پرتودهی بیشتر از قسمت بالایی آن است. این اختلاف‌ها سرانجام منجر به تفاوت میزان همگنی در ضخامت‌های متفاوت حفاظهای سربی می‌شود.